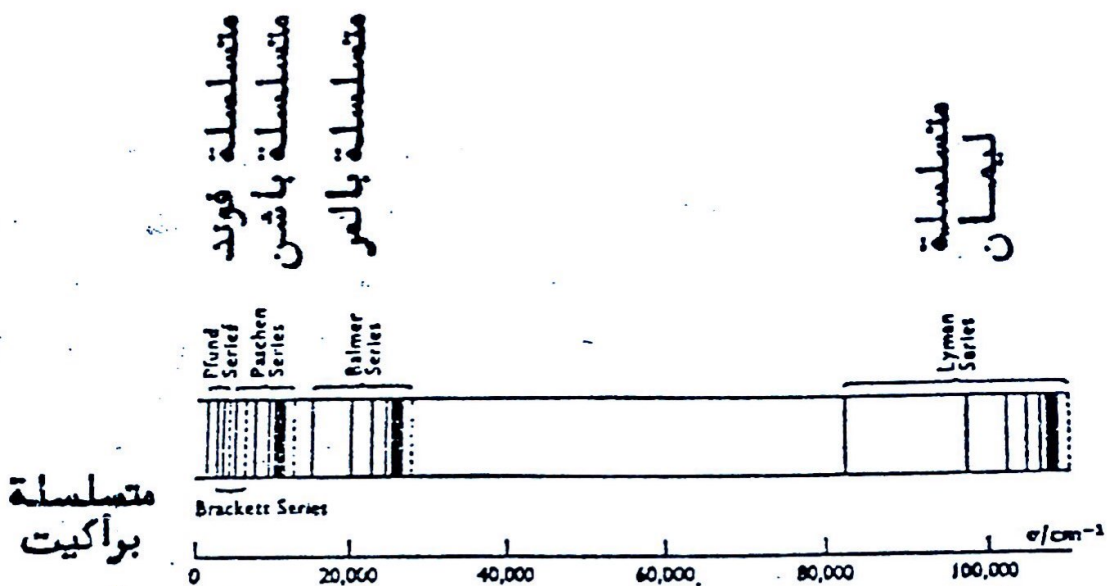


٥ - متسلسلة فوند (Pfund) التي تقع خطوطها في منطقة من الطيف تلي متسلسلة براكيت .

$$v = R_H \left(\frac{1}{5^2} - \frac{1}{n_2^2} \right) \quad n_2 = 6, 7, 8, 9, \dots$$



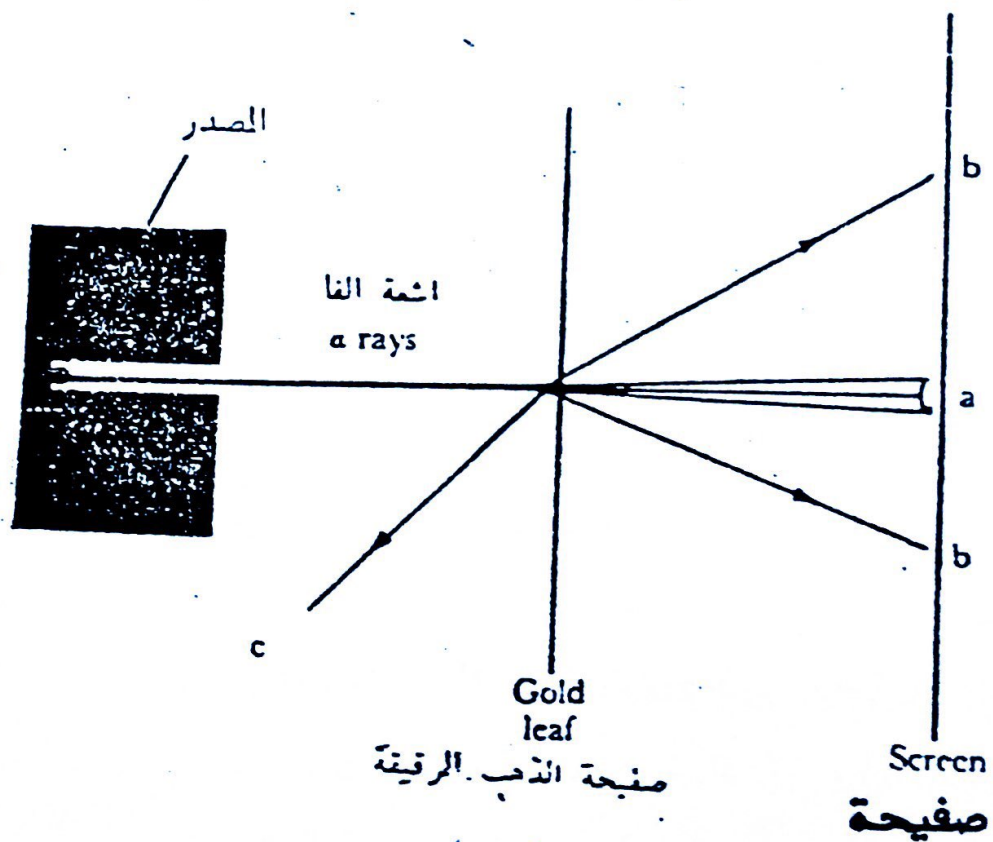
شكل ١١-١ : الخطوط الرئيسية في طيف ذرة الهيدروجين

ذرة بور Bohr Atom

تبين التجارب التي نوقشت في بداية هذا الفصل ان الذرات تحتوي على جسيمات موجبة واخرى سالبة . وقد افترض ثومسون ان الذرات عبارة عن كرات تتوزع فيها الشحنات الموجبة بانتظام وتحرك بينها الالكترونات الصغيرة السالبة الشحنة الا ان التوزيع الحقيقي للجسيمات الاساسية في الذرة قد اوضحه العالمان كايغر H.Geiger ومارسدن E.Marsden اللذان افادا بان جسيمات الفا (α -particles) ، وهي عبارة عن نواة ذرة الهيليوم ${}_{2}^{4}\text{He}^{2+}$ ، تتشتت عندما تمر من خلال صفيحة

معدنية رقيقة . (المقصود بالتشتت هو مرور قسم من الاشعة بصورة مستقيمة خلال الصفيحة الرقيقة مع ارتداد قسم منها وانحراف القسم الباقي بزوايا معينة) . وتبين النتائج التي توصل اليها العلمان ان جسيمات الفا تتشتت بشدة عندما تمر خلال مادة كثيفة . كما ان درجة التشتت تعتمد على الوزن الذري للفلز المصنوع منه الصفيحة الرقيقة .

اقتصر رutherford نموذجا للذرة النووية المقبول حاليا عام 1911 ليفسر نتائج تجارب كايكر ومارسدن من خلال التجربة التي قام بتنفيذها لمعرفة ما إذا كان بعض دقائق الفا تستحرف عن مسارها بزوايا كبيرة اذا ما استعملت بقصف صفيحة رقيقة من الذهب . ويتضمن الشكل (12-1) الجهاز المستخدم لفرض هذه التجربة .



شكل 12-1 : تجربة رutherford لقياس تشتت دقائق الفا الساقطة على صفيحة رقيقة من الذهب .

وقد استعمل عنصر الراديوم المشع كمصدر لهذه الدقائق ، بعد ان وضع في داخل كتلة رصاصية لحماية الحيط من الاشعاعات ولضمان خروجها بخط مستقيم كحزمة ضوئية .

اما النتائج التي حصل عليها رذفورد من خلال تجربته هذه فقد وجد ، وكما كان يتوقع ، ان 99% من دقائق الفا قد مرت من خلال الصفيحة الفلزية بعد ان عانت انحرافا بسيطا في مسارها (الخط a) . والقليل منها انحرفت عن مسارها بزوايا كبيرة (الخط b) ، كذلك فان البعض الاخر ارتد من الصفيحة (الخط c) .

لقد كان من الغريب حقا تفسير ارتداد دقائق الفا ذات الكتلة والسرعة العاليتين من صفيحة ذهب رقيقة قد يصل سمكها الى (6×10^{-5} سم) فلو كانت الكتلة والشحنة الموجبة متوزعة بصورة متساوية وموحدة في جميع الفلز لما نفذت معظم دقائق الفا الموجبة الشحنة من خلال الصفيحة . وبذلك فان الاقتراح الوحيد الذي وضعه رذفورد كتفسير سريع الى النتائج التي حصل عليها هو ان ارتداد القليل من الاشعة يعني تمركز كتلة الذرة وشحنتها الموجبة في حجم صغير جدا اذا ما قورنت بحجم الذرة الكلي .

ذلك فان الشحنة الموجبة المتمرکزة هذه تكون عادة ثابتة وغير متحركة وذلك بسبب كتلتها العالية . كما ان من المعروف ان الشحنات المتماثلة تتنافر فيما بينها وقد يكون التنافر كبير جدا بحيث يكون كافيا لارتداد اشعة الفا الى مسارها الاصلي .

ان هذه النتائج جعلت رذفورد يصنع نموذجا لبنية الذرة المقبول حاليا فقد اقترح ان الذرة تتكون من نواة متناهية في الصغر (نصف قطرها في حدود 10^{-12} سم) من حجم الذرة الكلي (نصف قطرها 10^{-8} سم) وتتركز فيها كثافة الشحنات الموجبة وتتمثل فيها كتلة الذرة . اما الالكترونات فانها تمثل الاجزاء السالبة في الذرة ، حيث تدور بسرعة

فانقة حول النواة . وقد شبه رذرфорد حركة الالكترونات حول النواة
بحركة الأفلاك حول الشمس .

ان صورة ذرة ماتحتوي على نواة موجبة الشحنة محاطة بالاكترونات
سالبة الشحنة تمثل مسألة مهمة . وبسبب كون الشحنات متعاكسة فان
الاكترونات تنجدب الى النواة ، ولو كانت الالكترونات ساكنة لسقطت
في النواة ولهذا يجب ان نفترض بان للاكترونات نوعا معينا من الحرث
يعاكس عملية جذبها بواسطة النواة . وقد فسر رذرفورد استقرار مثل
هذا النظام بان القوة الطاردة المركزية الناتجة عن الحركة الدائرية
للاكترونات تتساوى في المقدار وتعاكس في الاتجاه مع قوة الجذب
الكهروستاتيكي بين النواة الموجبة والاكترونات السالبة وعلى كل حال
اذا كانت الالكترونات في حالة حركة مستمرة فانها ستفقد طاقتها على
شكل طيف خطي مستمر . وهذا الفقدان في الطاقة ينتج عنه شل حركة
الاكترون مما يجعله اقل قابلية على تحمل جذب النواة فيقترب من النواة
في مسار حلزوني الى ان يسقط في النهاية وبذلك تتحطم صورة الذرة
ولما كانت صورة الذرات لا تتحطم لذلك فمن المتوقع ان يكون هناك خط
في تفسير الظاهرة اعلاه استنادا الى النظرية الكهرومغناطيسية القديمة

اعتمادا على نظرية الكم التي تعطي تفسيرا عن سبب عدم تحطيم
الذرات وعن سبب وجود الاطياف الخطية ، اقترح العالم الفيزيائى
الداينماركي نيل بور Niels Bohr عام 1913 على ان الطاقة الكلية
المكتسبة والمفقودة للالكترون في ذرة ما تمتلك قيم محددة او كمية
 $(E=h\nu)$ كما ان نظرية الكم لا تعرف بفقدان وامتصاص الطاقة بصورة
مستمرة ، بل على هيئة كميات محددة وثابتة . والطريق الوجيد الذى
يستطيع الالكترون فيه تغيير طاقته هو الانتقال من مستوى طاقة ما
إلى مستوى طاقة آخر . ولا يكون الانتقال بشكل تدريجي ، بل يجب
يحدث جميعه حالة واحدة (اي تردد محدد) . وإذا لم يتتوفر مستوى طا

اقل فان الالكترون لا يستطيع ان يبعث طاقة ولهذا السبب فان الذرات لا تتحطم او تنهار .

اما اذا توفر مستوى طاقة اقل فان الالكترون يستطيع ان يشع طاقة ولكن بكمية محددة فقط ، وهذه الكمية من الطاقة يجب ان تكون متساوية تماما الى الفرق بين مستوى طاقة ومستوى طاقة اخر . اي ان :

$$E_2 - E_1 = h\nu$$

اما في حالة الحصول على الاطياف الخطية فان الالكترونات ترتفع الى مستويات طاقة عالية بواسطة الطاقة الحرارية للهب ، وعند عودة الالكترونات الى مستويات الطاقة الواطئة ينباع اشعاع مميز .

ويمكن تخفيض افتراضات التي استند اليه بور في تفسير نظريته كالتالي:-

- 1- يمكن للالكترونات في اي ذرة تتواجد ضمن عدد من المدارات (Orbits) وتدور ضمن كل مدار حول النواة دون انبعاث اشعة .
- 2- لكل من هذه المدارات نصف قطر محدد وطاقة معينة .
- 3- من العدد اللانهائي المحتمل للمدارات يدور الالكترون فقط في تلك التي تتميز بان الزخم الزاوي (Angular momentum) للالكترون فيها هو

$$\text{احد مضاعفات المقدار الثابت } \left(\frac{h}{2\pi} \right)$$

اي ان :

$$mv\tau = n \frac{h}{2\pi}$$

حيث n هو عدد صحيح يمثل رقم المدار ويساوي 1,2,3..... وبعد الكم الرئيسي (Principal quantum number) وتمثل ν سرعة الالكترون .
اما τ فهو نصف قطر المدار .

4- تبعث الاشعة فقط عند انتقال الالكترون من حالة استقرار معينة الى حالة استقرار اخر ذات طاقة اقل . ويسمى بور هذا الانتقال انبعاث مقدار من الطاقة يساوي ($h\nu$) . ان افتراض بور كان البداية الاساسية لميكانيك الكم (quantum mechanic) والذي يختص بدراسة بدراسة قوانين الحركة التي تحكم بسلوك الدقائق الصغيرة .

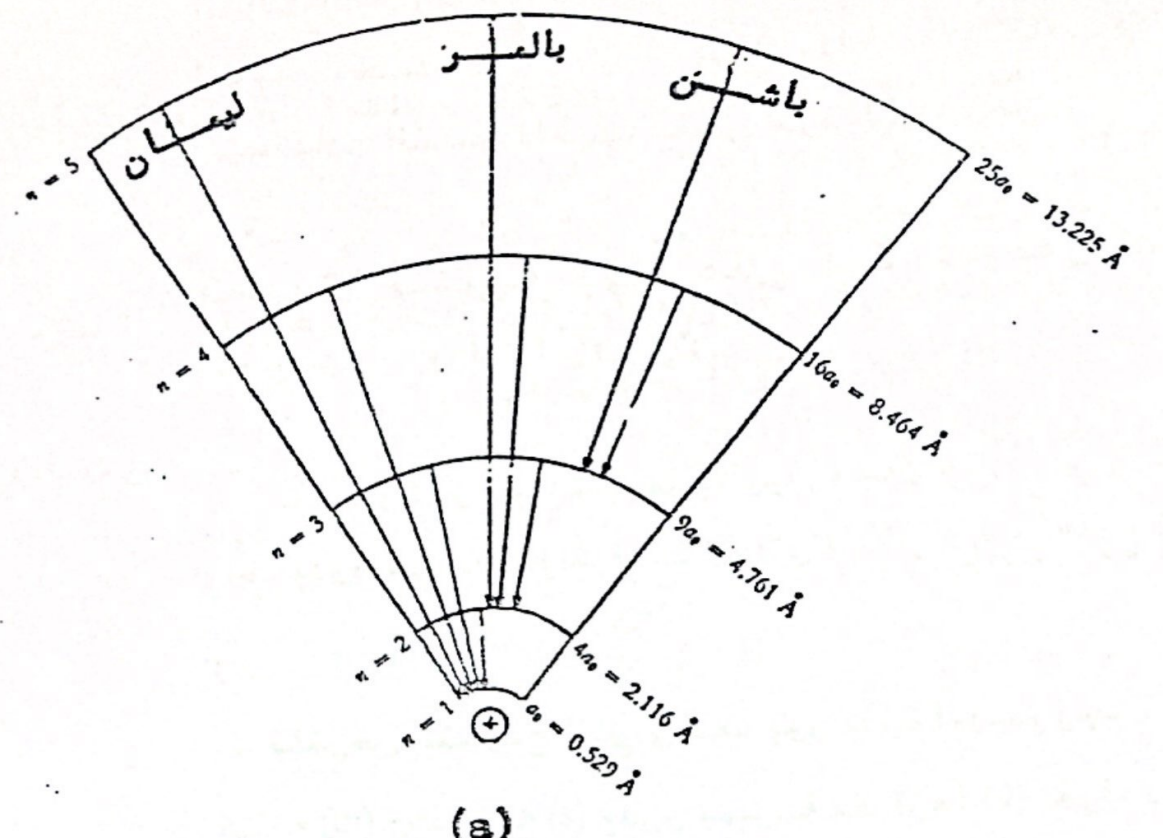
تفسير بور لخطوط الطيف الذري للهيدروجين

لقد باءت بالفشل جميع المحاولات التي اجريت في العقد الاول من القرن العشرين لتفسير هذا الطيف وللتوصل الى اسلوب نظري افضل لتطبيق معادلة ريد برك . وقد كان السبب الاول لفشل هذه المحاولات يعود لكونها تتم وفقا لمفهوم رذرфорد انف الذكر للذرة . ذلك المفهوم الذي يتلخص في ان الذرة مكونة من نواة مركزية موجبة الشحنة محاطة بعدد من الالكترونات كاف لمعادلة شحنة النواة تدور حول النواة باسلوب معائل لدوران توابع الشمس حولها .

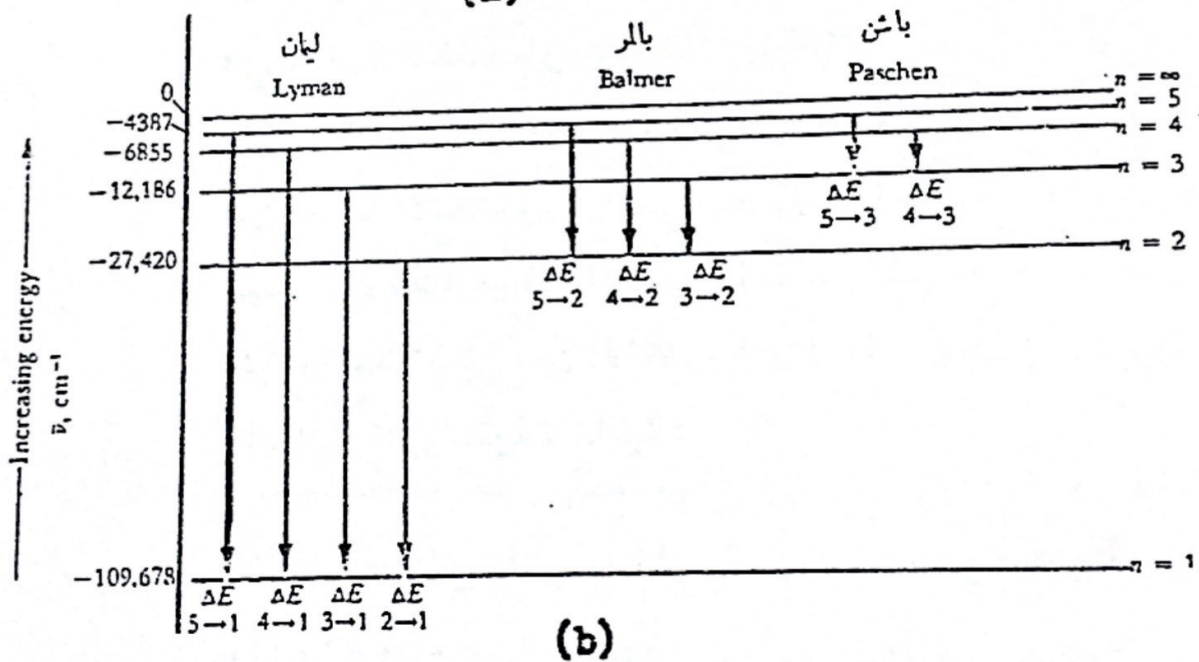
ولقد استطاعت نظرية بور ان تعطي تفسيرا مقبولا لخطوط الطيف الذري للهيدروجين بدلالة مدارات الذرة ومستويات الطاقة التي يوضعاها الشكل (13-1) على انها تمثل الطاقة المنبعثة نتيجة لانتقال الالكترونات في مدارات ذات طاقة مرتفعة الى مدارات ذات طاقة منخفضة . وتحدد هذه المدارات بواسطة اعداد الكم الرئيسية $3,2,1$

فالكترون ذرة الهيدروجين الذي يشغل المدار ($n=1$) يكون في ادنى مستوى للطاقة ولذلك فان ذرة الهيدروجين تكون اكثر الحالات استقرارا ويسمى مستوى طاقتها هذا بالحالة المستقرة للذرة (Ground state) . ومن الممكن ان ينتقل الكترون ذرة الهيدروجين من مستوى طاقة استقراره ($n=1$) الى مستوى طاقة اعلى اذا ما اعطي الطاقة الكافية لذلك (قد تكون طاقة ضوئية او حرارية) وعندما تكون ذرة الهيدروجين قلقة وغير مستقرة (ذرة محفزة) تسعى دائما الى حالة الاستقرار عن طريق عودة الالكترون الى مستويات الطاقة الادنى ، حيث يحرر الطاقة الفائضة على شكل اشعاع .

وفي ضوء ذلك فان متسلسلة ليمان تمثل جميع قيم الطاقة المنبعثة عند عودة الالكترونات المهيجة من اي مدار الى المدار الاول ، حيث ($n=1$) . ومتسلسلة بالمر تمثل عودة الالكترونات المهيجة الى المدار الثاني ، حيث ($n=2$) .



(a)



(b)

شكل ١-١٣ : مدارات ومستويات الطاقة لذرة الهيدروجين (a) المتسلسلات الطيفية الخمسة في طيف ذرة الهيدروجين .. (b) التغيير في طاقة الالكترون الساقط بين مستوى طاقة في حالة التهيج الى مستويات طاقة اقل وتمثل ΔE الفرق بين الطاقتين .

اما متسلسلة باشن فتمثل عودة الالكترون من اي مدار الى المدار الثالث ($n=3$) ويراكيت الى المدار الرابع ، حيث ($n=4$) ، وفند الى المدار الخامس ، حيث ($n=5$) . ويبين الشكل (13-1) الانتقالات الالكترونية خلال المتسلسلات الخمسة للطيف الخطي لذرة الهيدروجين .

تطبيق نظرية بور على ذرة الهيدروجين والذرات الشبيهة بالهيدروجين

يقصد بالذرات الشبيهة بالهيدروجين هي التي تتكون من الکترون واحد يدور في مدار دائري حول النواة مثل Li^{2+} , He^+ .

يفترض النموذج الذي وضعه بور لذرة الهيدروجين ان الالكترون الذي كتلته (m) وشحنته (e) يدور بسرعة مقدارها (v) حول نواة شحنتها (Ze^+) في مدار نصف قطره r الشكل (14-1).

لكي يكون المدار مستقرا فان القوة العمركزية (Centrifugal force) الناجمة عن حركة الالكترون والتي يحاول بواسطتها التحرر من مداره الدائري يجب ان تساوي في المقدار وتعاكس في الاتجاه القوى المركزية للتجاذب كهروستاتيكي بين الالكترون والنواة . ويمكن التعبير عن القوة المركزية لعلاقة الرياضية التالية :

$$F_0 = \frac{mv^2}{r} \quad \dots\dots (1)$$

ا قوة الجذب بين الالكترون والنواة فهي مكونة من مجموع القوتين التاليتين :

القوة الكهربائية للتجاذب بين الكترون شحنته (e) وعلى بعد (r) من اشحنته (Ze^+) ويعبر عنها :

$$F_e = -\frac{Ze^2}{r^2} \quad \dots\dots(2)$$

حيث (F_e) هي القوى الكهربائية للتجاذب (القوة الكهروستاتيكية). (Electrostatic force of attraction)

ب) قوة التعجيل الأرضي للتجاذب

ومن هاتين القوتين تكون القوة الكهربائية للتجاذب هي السائدة لدرجة كبيرة . وبامكاننا اهمال قوة التعجيل الأرضي ولكي يبقى المدار مستقرا فان مجموع القوتين F_c و F₀ يجب ان تساوي صفراء :

$$\frac{mv^2}{r} + (-\frac{Ze^2}{r^2}) = 0$$

اي ان

$$\frac{mv^2}{r} = \frac{Ze^2}{r^2} \quad \dots\dots(3)$$

ان الالكترون في الذرة يمتلك نوعين من الطاقة وهما :

الطاقة الكامنة (potential energy) وتمثل بالمعادلة التالية :

$$E_{pot} = -\frac{Ze^2}{r} \quad \dots\dots(4)$$

والطاقة الحركية (Kinetic energy) وتمثل بالمعادلة التالية :

$$E_k = \frac{1}{2} mv^2 \quad \dots\dots(5)$$

وبذلك تكون الطاقة الكلية للالكترون (E) عبارة عن مجموع الطاقتين الحركية والكامنة :

$$E = \frac{mv^2}{2} - \frac{Ze^2}{r}$$

اي ان :

$$\frac{mv^2}{2} = \frac{Ze^2}{r} \quad \dots\dots(6)$$

ولما كان شرط المدار المستقر يتمثل بالمعادلة :

$$\frac{mv^2}{r} = \frac{Ze^2}{r^2}$$

اي ان

$$mv^2 = \frac{Ze^2}{r} \quad \dots\dots(7)$$

وعليه فبالتعويض عن mv^2 في المعادلة (6) يصبح لدينا :

$$E = \frac{1}{2} \frac{Ze^2}{r} - \frac{Ze^2}{r}$$
$$= -\frac{Ze^2}{2r} \quad \dots\dots(8)$$

ولحساب طاقة الالكترون نحتاج تحديد نصف قطر المدار (r) فقط.

ويتضح من الاشارة السالبة في المعادلة رقم (8) ان الالكترون يحرر باستمرار طاقة كلما قلت قيمة (r) او بمعنى اخر يمكن القول انه بزيادة الطاقة ينتقل الالكترون من مدار داخلي ، حيث (r) صغيرة الى مدار خارجي حيث (r) اكبر .

وللحفاظ على الالكترون من تباطؤ حركته وبالتالي سقوطه في النواة نتيجة فقدانه لطاقة اقترح بور اقتراحه الجديد وهو ان الزخم الزاوي للالكترون يمتلك قيمة محددة ومعينة فقط تمثل بالمعادلة :

$$mvr = n \frac{h}{2\pi} \quad \dots\dots(9)$$

وبحل هذه المعادلة نحصل على قيمة n اعتمادا على كتلة الالكترون ونصف قطر مداره كما يلي :

الموجبة لقدر الطاقة المحتسبة وفقاً للمعادلة (14) . وعليه كلما زادت هذه الطاقة زاد استقرار الالكترون في ذلك المدار . لذلك فان اكثراً المدارات استقراراً هو المدار الذي تكون قيمة Z فيه مساوية الى الواحد الصحيح . ويمكن تطبيق المعادلة (14) على ذرة الهيدروجين ، حيث ان قيمة (Z) لها مساوية الى واحد فتكون :

$$E_H = \frac{-2\pi^2 me^4}{n^2 h^2} \quad \dots\dots\dots(15)$$

واستناداً الى فرضية بور الرابعة فان للالكترون القدرة على الانتقال من مستوى طاقة معين الى مستوى طاقة اعلى اذا ما زود بالكمية اللازمة من الطاقة لهذا الانتقال .

وتتبعت هذه الطاقة مجدداً على شكل اشعاع عند عودة الالكترون من مدار خارجي n_2 الى مدار داخلي n_1 اي الى وضع اكثراً استقراراً من حالة الاستقرار الاولى .

اما طاقة الاشعاع المتبعة فيمكن تمثيلها بالمعادلة :

$$\Delta E = E_{n2} - E_{n1} = \frac{2\pi^2 Z^2 e^4 m}{h^2} \left(\frac{1}{n_1^2} - \frac{1}{n_2^2} \right) \quad \dots\dots\dots(16)$$

ومن الشائع عملياً ان يعبر عن الاشعاع المتبوع بدالة التردد (v) او العدد الموجي (\bar{v}) استناداً الى المعادلات التالية :

$$v = \frac{E}{h}$$

$$\therefore v = \frac{2\pi^2 Z^2 e^4 m}{h^3} \left(\frac{1}{n_1^2} - \frac{1}{n_2^2} \right) \quad \dots\dots\dots(17)$$

$$v = \frac{nh}{2\pi mr} \quad \dots\dots(10)$$

كذلك نستطيع معرفة v اعتمادا على شحنة النواة من المعادلتين (3 و 10) .
نحصل على :

$$v = \frac{2\pi e^2 Z}{nh} \quad \dots\dots(11)$$

وبالتعويض عن قيمة v من المعادلة (10) في معادلة شرط المدار المستقر (معادلة 3) نحصل على :

$$\frac{mn^2 h^2}{4\pi m^2 r^2} = \frac{Ze^2}{r} \quad \dots\dots(12)$$

او ان :

$$\frac{1}{r} = \frac{n^2 h^2}{4\pi m^2 Ze^2} \quad \dots\dots(13)$$

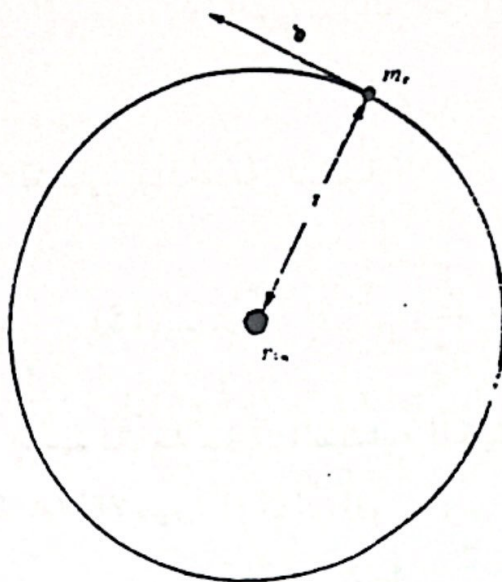
يتضح من المعادلة (13) ان نصف قطر المدار يتناسب طرديا مع مربع عدد الكم الرئيسي (n) وبذلك يمكننا استعمال هذه المعادلة لحساب نصف قطر المدارات الممكنة للالكترون في ذرة الهيدروجين ($Z=1$) او في الذرات الشبيهة بالهيدروجين بدلالة (n) .

وبالتعويض عن قيمة r بما يساويها في المعادلة (8) نحصل على طاقة الالكترون الكلية في المدار النووي E_n^{th}

هي :-

$$E_n = \frac{-2\pi^2 Z e^2 m e^4}{n^2 h^2} \quad \dots\dots(14)$$

يتبين من المعادلة (14) ان 'قيمة السالبة لطاقة الالكترون تتناسب عكسيا مع مربع عدد الكم الرئيسي . وبتعبير اخر يمكن القول ان الطاقة اللازمة لازاحة الالكترون من مداره ذي عدد الكم n الى مالانهاية تساوي القيمة



شكل ١-١٤: نموذج بور لذرة الهيدروجين

الحل : لغرض كتابة المعادلة (١٩) بدلالة v تكون :

$$v_H = R_H c \left(\frac{1}{n_1^2} - \frac{1}{n_2^2} \right)$$

$$R_H = 109678 \text{ cm}^{-1}$$

$$c = 3 \times 10^{10} \text{ cm.sec}^{-1}$$

$$\begin{aligned} v_H &= (109678 \text{ cm}^{-1}) (3 \times 10^{10} \text{ cm.sec}^{-1}) \left(\frac{1}{2^2} - \frac{1}{6^2} \right) \\ &= 3.290 \times 10^{15} \text{ sec}^{-1} \left(\frac{1}{4} - \frac{1}{36} \right) = 7.3068 \times 10^{14} \text{ sec}^{-1} \end{aligned}$$

$$\lambda = \frac{c}{v} = \frac{3 \times 10^{10} \text{ cm.sec}^{-1}}{7.3068 \times 10^{14} \text{ sec}^{-1}}$$

$$= 4.103 \times 10^{-9} \text{ cm}$$

$$= 4.103 \times 10^{-7} \text{ m}$$

$$= 410.3 \text{ nm}$$

اما العدد الموجي (v) الذي يرتبط مع التردد بالعلاقة :

$$v = v_c$$

فيمكن التعبير بالمعادلة التالية :

$$v = \frac{2\pi^2 Z^2 e^4 m}{h^3 c} \left(\frac{1}{n_1^2} - \frac{1}{n_2^2} \right) \quad \dots \dots (18)$$

يمكننا بسهولة ملاحظة التشابه الكبير بين معادلة ريدبرك انفة الذكر وبين المعادلة الاخيرة (18) اي ان

$$R = \frac{2\pi^2 m e^4 Z^2}{h^3 c}$$

ولذرة الهيدروجين ($Z=1$) فان :

$$R_H = \frac{2\pi^2 m e^4}{h^3 c}$$

حيث R_H هو ثابت ريدبرك ويمكن حسابه بمعرفة القيم (h) ، (c) ، (m) و (e) . وبذلك يكون

$$v_H = R_H \left(\frac{1}{n_1^2} - \frac{1}{n_2^2} \right) \quad \dots \dots (19)$$

وللذرات الشبيهة بالهيدروجين :

$$v = RZ^2 \left(\frac{1}{n_1^2} - \frac{1}{n_2^2} \right) \quad \dots \dots (20)$$

مثال : احسب الطول الموجي للخط الرابع ($n=6$) في متسلسلة بالمر لذرة الهيدروجين .

مثال : احسب نصف قطر مدار بور الاول لذرة الهيدروجين ($Z=1$) .

الحل : يمكن حساب نصف قطر مدار بور الاول مباشرة من المعادلة (13) .

$$r = \frac{n^2 h^2}{4\pi m e^2}$$

بما ان المدار المطلوب حساب نصف قطره هو المدار الاول :

$$\therefore n=1$$

بالتعويض في قيم الثوابت الاخرى نحصل على :

$$r = \frac{(1)^2 (6.6238 \times 10^{-27} \text{ erg.sec.})^2}{4(3.1416)^2 (9.1072 \times 10^{-28} \text{ g})(4.8032 \times 10^{-10} \text{ e.s.u})^2} = \frac{4.387 \times 10^{53}}{4 \times 9.869 \times 9.11 \times 16^{28} \times 2.38 \times 10^{53}} = \frac{4.387 \times 10^5}{8.29 \times 10^5}$$

$$= 0.529 \times 10^{-8} \text{ cm} = 0.529 \text{ A}^\circ$$

$$(1 \text{ انكستروم (A}^\circ) = (10^{-8} \text{ سم})$$

ويشار الى نصف قطر بور (Bohr's radius) لعدد الكم ($n=1$) لذرة الهيدروجين فقط ، يشار اليه بالحرف (a_0) .

وبتطبيق نفس العلاقة واعطاء قيم لـ n تساوي 2 , 3 , 4 , يمكننا الحصول على انصاف اقطار المدارات الاخرى لذرة الهيدروجين باتباع

القانون ($a_0 n^2$) وبذلك فأن نصف قطر المدار الثاني يساوي :

$$2^2 \times a_0 = 4 \times 0.529 \times 10^{-8} \text{ cm}$$

ونصف قطر المدار الثالث لذرة الهيدروجين يساوي

$$3^2 \times a_0 = 9 \times 0.529 \times 10^{-8} \text{ cm}$$

وهكذا يتضح من نظرية بور ان طاقة الالكترون تحدد بعدد الكم (n) .

مثال : احسب سرعة الالكترون في مدار بور الاول في نيزك الهيدروجين؟

الحل :

$$v = \frac{nh}{2\pi mr}$$

بما ان

$$n = 1$$

$$r = a_0 = 0.529 \times 10^{-8} \text{ cm}$$

$$v = \frac{(1)(6.6238 \times 10^{-27} \text{ erg. sec.})}{2(3.1416)(9.1072 \times 10^{-28} \text{ g})(0.529 \times 10^{-8} \text{ cm})}$$

$$= 2.188 \times 10^8 \text{ cm sec}^{-1}$$

مثال : احسب طاقة الالترон في المدارين الاول والثاني في نيزك الهيدروجين؟

الحل :

$$E = \frac{(-2\pi me^4)}{n^2 h^2}$$

عندما تكون ($n=1$) فأن

$$r = a_0 = \frac{h^2}{4\pi me^2}$$

$$\frac{1}{2a_0} = \frac{2\pi^2 me^2}{h^2}$$
اي ان

$$\therefore E_{n=1} = -\frac{e^2}{2a_0} = -\frac{(4.8032 \times 10^{-10} \text{ e.s.u.})^2}{2(0.529177 \times 10^{-8} \text{ cm})}$$

$$= -2.17987 \times 10^{-11} \text{ erg.}$$

يعبر عادة عن الطاقة بوحدات الكترون فولت . ولما كان الارك الواحد يساوي 6.2419×10^{11} الكترون فولت (eV) :

$$\therefore E = -(2.17987 \times 10^{-11} \text{ erg})(6.2419 \times 10^{11})$$

$$= -13.606 \text{ eV}$$

اما طاقة الالكترون في المدار الثاني (n=2) فتساوي :

$$E_{n=2} = -\frac{c^2}{2a_0 n^2} = \frac{E_{n=1}}{n^2}$$

$$= -\frac{13.606}{2^2} = -3.4015 \text{ eV}$$

تحوير نظرية بور

لاقت نظرية بور نجاحا ملحوظا في وصف الذرات الشبيهة لذرة الهيدروجين ولكنها فشلت في تفسير اطیاف منظومات ذرية تحتوي على اكثر من الكترون واحد ويضاف الى ذلك ان هناك مشاهدات طيفية لا يمكن تفسيرها بنظرية بور البسيطة ، مثلا ، يلاحظ ان بعض خطوط طيف الهيدروجين اذا تعرض لمطياف ذي تحليل عال فانها تظهر كمجموعة من الخطوط الدقيقة والمتقاربة جدا تشير الى انتقالات الكترونية بين مستويات ثانية ذات فرق صغير جدا في الطاقة ، وكذلك ينقسم بعض هذه الخطوط الى عدد من الخطوط اذا ماوضع مصدر الاشعاع في مجال

مغناطيسي قوي وقد عرفت هذه الظاهرة باسم تأثير زيمان Zeman effect (1901) . وهذه الحقيقة غير قابلة للتطبيق بنظرية بور البسيطة ومع ذلك فقد كان الفيزيائي الألماني سومرفيلد Sommerfeld قادرًا على إنقاذ النظرية البسيطة وقتها مفترضًا امكان تجزئة مستويات الكم الرئيسية إلى مدارات اهليجية إضافة إلى المدار الدائري للألكترون .

وقد فسرت نظرية بور - سومرفيلد تأثير زيمان بشكل جيد . ولكن عجزت أيضًا عن تفسير أطيف الذرات المتعددة الألكترونات . كما اختر في استنباط الخواص الدورية للعناصر الكيميائية ، وهكذا استبع فكرة المدار الاهليجي فيما بعد لتحول محلها نظرية جديدة لل ERA الإلكترونية مبنية على أساس الميكانيك الموجي . وسنتناول بالشـ والتفصيل لكل معايـلـ :

- 1- نظرية سومرفيلد للمدارات الاهليجية .
- 2- تأثير زيمان .
- 3- تأثير برم الألكترون .

1- نظرية سومرفيلد Sommerfeld Theory

ادخل سومرفيلد أول تطوير لنظرية بور عام 1915 باقتراحه مدار اهليجية (Elliptical orbits) إضافة إلى المدارات الدائرية (circular orbits) شـ (15-1) لـ تفسير التركيب الدقيق لخطوط الطيف (Fine Structure) بدلة الانتقالات الإلكترونية بين المستويات الثانية . أما الفرق عملية دوران الألكترون في مدار دائري ودورانه في مدار اهليجي هـ فيـ الحالـةـ الأولىـ تتـغيرـ فقطـ زـاـئـيـةـ الدـورـانـ ϕ ـ بينماـ فيـ الحالـةـ الثـانـيـةـ يتـغيرـ كلـ منـ زـاـئـيـةـ الدـورـانـ ϕ ـ وـ نـصـفـ قـطـرـ المـارـ \pm ـ شـ (16-1)ـ وقدـ اـهـ هذاـ الـاقـتراـحـ ضـرـورـةـ اـدخـالـ عـدـدـ كـمـ ثـانـيـ يـرـمزـ لهـ بـالـرـمـزـ (k)ـ ويـسـمـيـ الكـمـ السـعـتـيـ (Azimuthal quantum number)ـ ويـتـعـينـ شـكـلـ المـارـ الـاهـليـجـيـ بـعـدـ الـكـمـ (n)ـ وـ (k)ـ وـ بـاـلـاسـلـوبـ الـاتـيـ :

القطر الكبير للشكل الاهليجي

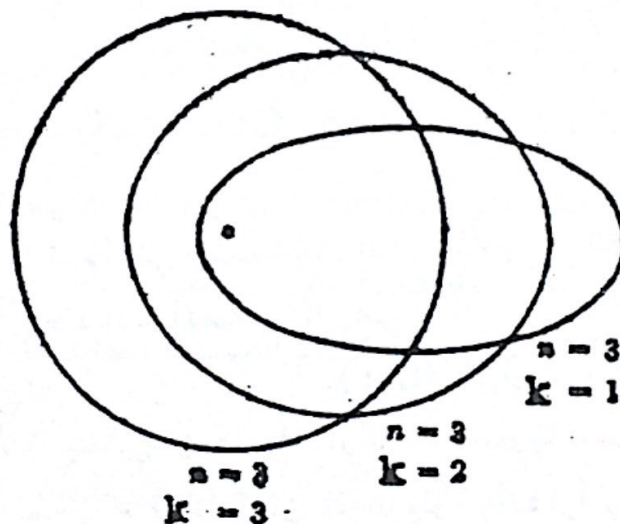
$$\frac{1}{\text{القطر الصغير للشكل الاهليجي}} = \frac{n}{k}$$

القطر الصغير للشكل الاهليجي

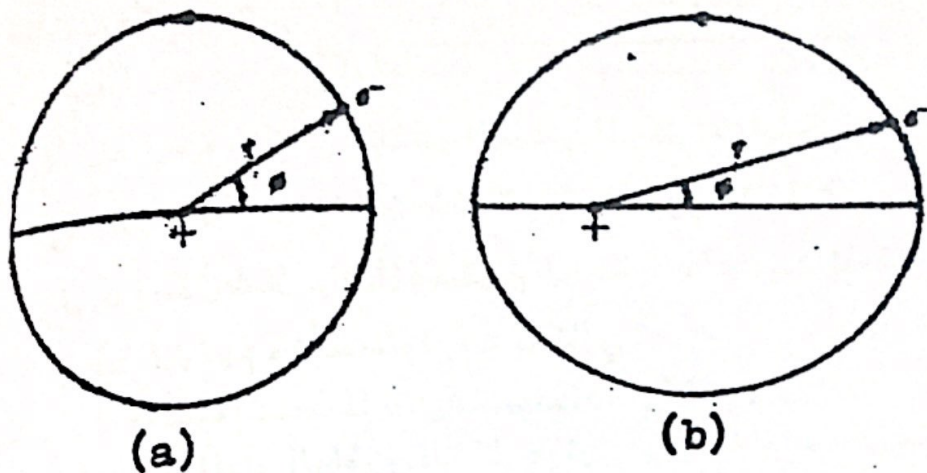
وقد اثبتت سومرفيلد انه لكل قيمة من قيم n تأخذ k قيمها صحيحة من 1 الى n ويمثل شكل (15-1) مستوى الطاقة ($n=3$) ، حيث تأخذ k القيم 3,2,1 وحيث ان قيم k تتعدد بقيم n كالتالي :

$$k = 1, 2, 3, 4, \dots, n$$

عليه فأن المدار الدائري البشكل عبارة عن حالة خاصة اي عندما يكون ($k=n$) ولقد استثنىت القيمة صفر لعدد الكم k نظرا لانها تعني تحرك الالكترون ضمن خط مستقيم مارأ بالنواة . ولقد اتضح ان المدارات التي تختلف في عدد الكم k وتتشابه في عدد الكم n تختلف في طاقتها اختلافا قليلاً ، وان انتقال الالكترون من او الى مدارات كهذه يتسبب في تكوين خطوط طيف اضافية .



شكل 15-1 : المدارات الممكنة لالكترون الناتجة من عدد الكم ($n=3$) .



شكل 16-1 : (a) دوران الالكترون في مدار دائري (b) وفي مدار اهليجي

لقد عجزت نظرية سومرفيلد عن تفسير اطيفات الذرات المنفردة لالكترونات كما أخفيقت في استنباط الخواص الكيميائية الدورانية للعناصر . ولهذا استبعدت فكرة المدار الاهليجي فيما بعد ، وعليه استعيظ عن عدد الكم k بعدد الكم الثانوي (l) (secondary quantum number) بحيث يكون ($l=0, 1, 2, 3, \dots, n-1$) . ويحدد عدد الكم l مدى بياضاوية المدار (شدة المدار) .

ان القيم التي يأخذها عدد الكم الثانوي l تعتمد حسب تحويل سومرفيلد على عدد الكم الاساسي n وهي :

$$l = 0, 1, 2, 3, \dots, (n-1)$$

وهذا يعني ان عدد المدارات المتساوية تقربيا في طاقتها تحدّد بـ العدد n فـإذا كان ($n=1$) يوجد مداراً واحداً فقط من مدارات سومرفيلد وقيمة l فيه تساوي صفر . وعندما يكون ($n=2$) يوجد مدارات بور - سومرفيلد وقيمة l فيها هي 1,0 وهذا . كذلك يشار الى الخطوط الدقيقة الممثلة بعدد الكم الثانوي l بـ معينة مقابل القيم المختلفة l وهي :-

عندما ($l=0$) يدعى المستوى الثانوي s(Sub orbit).

عندما ($l=1$) يدعى المستوى الثانوي p.

عندما ($l=2$) يدعى المستوى الثانوي d.

عندما ($l=3$) يدعى المستوى الثانوي f.

وقد جاءت هذه الاحرف من الكلمات sharp (حاد) principal (رئيسي) ، diffuse (منتشر) ، fundamental (أساسي)

يمكننا الان ان نتصور مستوى الطاقة الرئيسي في نظرية بور وقد انقسم الى مستويات طاقة ثانوية متقاربة جدا .

2- تأثير زيمان Zeeman effect

ان ظهور خطوط الطيف الاخرى عند وضع الذرات الباعثة للأشعاع ضمن مجال مغناطيسي قوي تعرف بظاهرة زيمان . ولأجل تفسير هذا الانفصام في مستويات الطاقة ادخل عدد km ثالث يصف الاتجاه الذي يأخذه المستوى الثانوي (Sub orbit) بالنسبة لاتجاه المجال المغناطيسي الخارجي وبذلك فهو لا يؤثر على حجم او شكل الذرة وانما على توجيهه وتنظيم المستويات الثانوية في فضاء الذرة . وقد سمي عدد km هذا بعدد km المغناطيسي (magnetic quantum number) ويرمز له بالرمز m_l .

وتعتمد القيم التي يأخذها m_l على قيمة عدد km الثانوي l ، حيث ان لكل قيمة من l يأخذ m_l جميع القيم العددية الصحيحة التالية بما في ذلك

الصفر :

$$(+l), (-l), (+l+1), \dots, 1, 0, 2, \dots, (-l)$$

فإذا كانت قيمة ($l=0$) فإن قيمة ($m_l=0$) ايضا . وإذا كانت قيمة ($l=1$) فإن قيمة ($m_l=0$) هي ($-1, 0, +1$) . أما إذا كانت قيمة ($l=2$) فإن قيمة التي يأخذها m_l هي ($-2, -1, 0, 1, 2$) وهذا .

ويمكن المقول كذلك ان عدد القيم التي يأخذها m_l تساوي ($+l$) وهذا

فإن قيم أعداد الكم الثلاث تحدد بصورة مبسطة المستوى الثانوي
للإلكترون .

3- تأثير برم الإلكترون

يؤثر المجال المغناطيسي الخارجي على حركة الإلكترون في أوربيتال (orbital) بما يؤدي لحركة برمية حول محوره باتجاهين شكل (17-1) . إن ظاهرة البرم الإلكتروني هذه استخدمت كتفسير جيد لوجود بعض خطوط الطيف المزدوجة في اطيف الفلزات القلوية ، ويتطلب هذا استخدام عدد كم رابع اطلق عليه عدد كم البرم (Spin quantum number) يعطي الرمز (m_s) . ويمكن وصف برم الإلكترون بالاستناد إلى القيم التي يأخذها عدد كم البرم m_s وهذه القيم هي $\frac{1}{2} +$ أو $\frac{1}{2} -$.

ان ذلك يعني ان للإلكترون عزماً مغناطيسياً كما انه من الممكن لطاقة الإلكترون مهما كان مستواها ان تنقسم الى طاقتين مختلفتين قليلاً وذلك اعتماداً على اتجاه عزم الإلكترون ، او بعبارة اخرى اعتماداً على اتجاه دوران الإلكترون حول نفسه وبذلك امكن تفسير ظهور الخطوط المزدوجة في اطيف العناصر الذي يصاحب برم الإلكترون فيمثل بالمقدار $\frac{\hbar}{2\pi}$ اي انه سيتحدد بالقيمتين $(\frac{1}{2} + , \frac{1}{2} -)$ عندما تكون الحركة

البرمية للإلكترون معززة للمجال المغناطيسي الخارجي او ان تكون $(\frac{1}{2} - , \frac{1}{2} +)$ عندما تكون الحركة البرمية للإلكترون معاكسة لاتجاه المجال المغناطيسي الخارجي . وهذا يلاحظ الان ضرورة استخدام اربعة اعداد كم لوصف طاقة الإلكترون وقد حدّدت معادلة شروبنك التي سياتي ذكرها لاحقاً ، القيم التي تأخذها اعداد الكم الاربعة هذه وهي :

١- عدد الكم الرئيسي (n)
Principal Quantum Number (n)
 وهو يحدد الطاقة الكلية للغلاف الرئيسي الذي يدور فيه الالكترون
 وبعد هذا الغلاف عن النواة ويتخذ الاعداد الصحيحة (1,2,3,4.....∞)
 وبذلك فان الغلاف الرئيسي الداخلي القريب من النواة في اي ذرة يمتلك
 عدد كم رئيسي مساويا الى 1 ، والذي يليه يمتلك عدد كم رئيسي مساويا
 الى 2 وهكذا . وقد استعملت بعض الاحرف الموازية لهذه الارقام والتي
 يمكن ان يستدل منها على رقم الغلاف مثل استخدام الحرف (K) للاستدلال
 على الغلاف الرئيسي الاول ، والحرف (L) للغلاف الرئيسي الثاني والحرف
 (M) للغلاف الرئيسي الثالث وهكذا .

ان عدد الالكترونات التي تمتلك نفس عدد الكم الرئيسي في الذرة محدد
 ويتمثل بقيمة المقدار ($2n^2$) حيث n هو عدد الكم الرئيسي وبذلك يكون :

عدد الكم الرئيسي (n)	4	3	2	1	
الاحرف المعبرة	N	M	L	K	
العدد الاقصى للالكترونات	32	18	8	2	

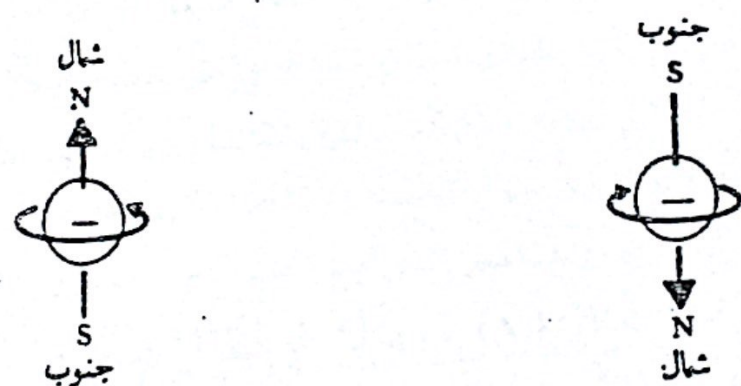
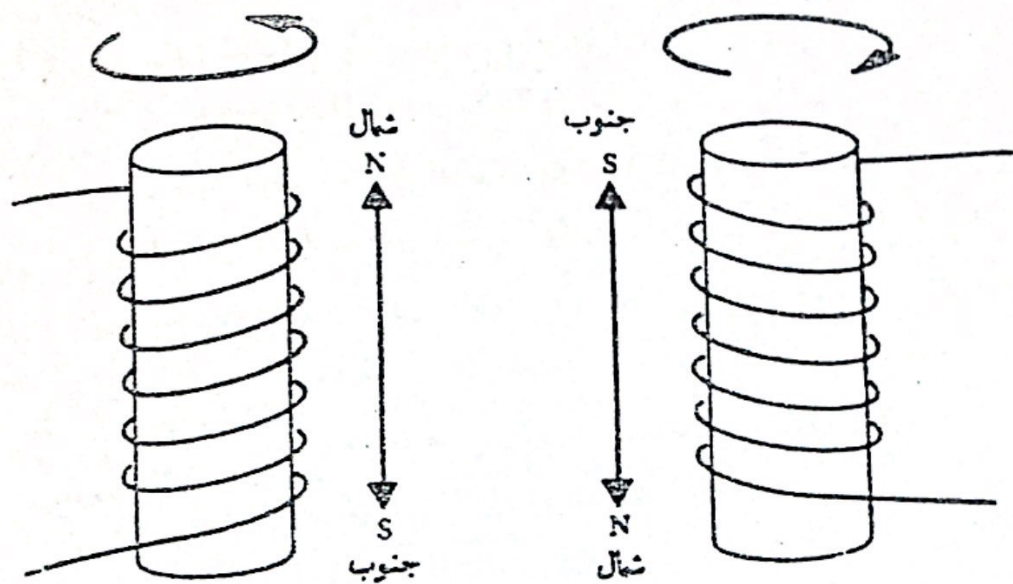
٢- عدد الكم الثانوي (l)
Secondary quantum number (l)
 وهو يحدد شكل الاغلفة الثانوية المتواجدة ضمن الغلاف الرئيسي
 الواحد ولها سمي هذا العدد ايضا بعدد الكم الشكلي للغلاف الثانوي
 ويتخذ القيم :

$$l = 0, 1, 2, 3, \dots, (n-1)$$

لكل قيمة من n .

ويمكن استخراج قيمة الزخم الزاوي للالكترون في مستوى ثانوي معين
 بدلالة عدد الكم الثانوي من العلاقة التالية :

$$\text{angular momentum} = \sqrt{l(l+1)} \cdot \frac{h}{2\pi}$$



شكل ١٧-١ : برم الالكترون في المجال المغناطيسي

ويتضح من ذلك ان المستوى الثانوي S الذي قيمة / له تساوي صفر، سيكون الزخم الزاوي له مساويا الى صفر ايضا . ويجب التأكيد على ان الالكترون في هذه الحالة لا يكون في حالة السكون وان القيمة صفر تعني احتمالية تحركه في الاتجاه المضاد بحيث تكون محصلة الزخم الزاوي مساوية الى صفر .

اما بالنسبة الى الغلاف الثانوي الذي تكون فيه قيمة $(l=1)$ فان الزخم الزاوي له سيكون مساويا الى $(\sqrt{2} \cdot \frac{h}{2\pi})$

-3- عدد الکم المغناطيسي (m_l)

Magnetic quantum number

وهو يحدد اتجاه الاوربيتال نحو المجال المغناطيسي الخارجي ويعتمد في قيمه على عدد الکم الثانوي / فيتخذ القيم :

$$(-l, -l+1, \dots, 1, 0, +l)$$

اما الزخم الزاوي للإلكترون في اوربيتال معين فيمكن استخراجه بدلالة عدد الکم المغناطيسي من العلاقة :

$$m_l \cdot \frac{h}{2\pi}$$

فاما كانت قيمة $(l=1)$ ، الغلاف الثانوي P ، يكون لـ m_l القيم $0, +1, -1$ اي ان هناك قيم للزخم الزاوي بدلالة m_l وهي :

$$(+1) \cdot \frac{h}{2\pi}, (0) \cdot \frac{h}{2\pi}, (-1) \cdot \frac{h}{2\pi}$$

وتمثل هذه الاعداد مكونات الزخم الزاوي في اتجاه المجال المغناطيسي ويمكن توضيحها بالشكل (18-1).

اما اذا كانت قيمة $(l=2)$ ، الغلاف الثانوي d ، فيكون الزخم الزاوي بدلالة مساويا الى $(\sqrt{6} \cdot \frac{h}{2\pi})$ وتكون قيم m_l $(-2, -1, 0, +1, +2)$ وان اعلى

قيمة للزخم الزاوي بدلالة m_l هي $(+2) \cdot \frac{h}{2\pi}$ وأن طائفتها هي $(-2 \cdot \frac{h}{2\pi})$

بالاضافة الى المكونات الثلاثة الاخرى . وبذلك فان هناك خمسة اتجاهات

أما m_s فيمكن أن تكون له قيمتان هما $\frac{1}{2}$ أو $-\frac{1}{2}$. وهذا يعني امكانية وجود الكترونيين في هذا المستوى.

$n = 2$	وفي مستوى الطاقة الثاني
$l = 0, 1$	لذلك
$m_l = 0$	عندما يكون
$m_s = \pm \frac{1}{2}$	فأن

بـ: يحتمل وجود الكترونيين

$l = 1$	وعندما يكون
$m_l = +1, 0, -1$	فأن

وفي كل حالة يكون m_s مساويا إلى $\frac{1}{2}$ أو $-\frac{1}{2}$. عندئذ يمكن وجود (6)

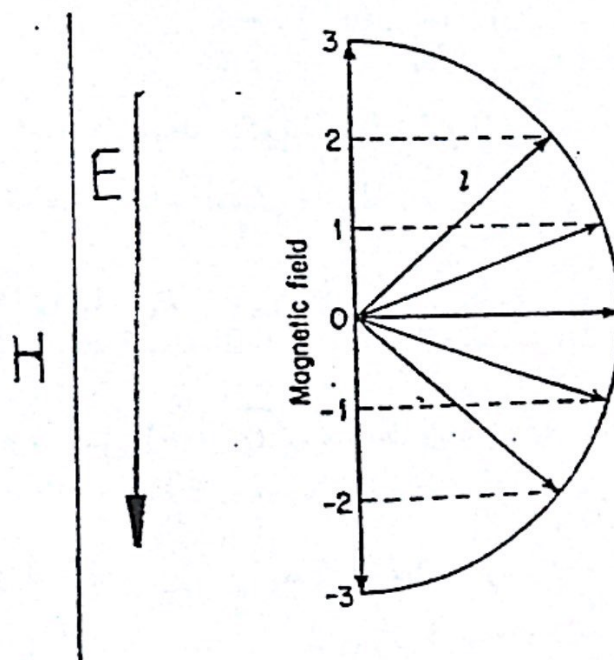
الكترونات وبالتالي يصبح عدد الكترونات المستوى الثاني (8) الكترونات. وبطريقة مماثلة يمكن ان نجد (18) الكترونا في مستوى الطاقة الثالث و (32) الكترونا في المستوى الرابع الخ . كما مبين في الجدول (1-1).

يتضح من الجدول أعلاه ان النهاية العظمى لعدد الكترونات كل غلاف ثانوي من نوع s, p, d أو f هي (2), (6), (10) و (14) الكترونا على التوالي بغض النظر عن الغلاف الرئيسي . لذا يمكن ان نستنتج بأن هذه الالكترونات تنتظم في الأغلفة الرئيسية كالتالي :-

للغلاف الثانوي $n=2$ نحو المجال المغناطيسي الخارجي أما اقل الاوربيتالات طاقة بين هذه الاوربيتالات الخمسة هو الذي يكون باتجاه المجال المغناطيسي الخارجي ($m_s = +\frac{1}{2}$) واكثرهم طاقة هو ($m_s = -\frac{1}{2}$) الشكل (18.1)

Spin quantum number 4- عدد كم البرم (m_s)
 وهو يحدد اتجاه دوران الالكترون حول نفسه وقد سبق ان تناولنا بالشرح القيم التي يتخذها وكذلك الزخم الزاوي للالكترون بدلالة عدد كم البرم .
 ان اعداد الكم الاربعة $m_s = +\frac{1}{2}, 0, -\frac{1}{2}, -\frac{1}{2}$ تعطى عدد الالكترونات التي يمكن ان تنتظم في كل مستوى طاقة .

$n=1$ في المستوى الطاقة الاول
 $l=0$ لذلك فان
 $m_l=0$ و



شكل 18-1 : اتجاه الاوربيتالات عند توفر مجال مغناطيسي خارجي (H)

$1s^2$	في الغلاف K (أو n=1)
$2s^2 2p^2$	في الغلاف L (أو n=2)
$3s^2 3p^6 3d^{10}$	في الغلاف M (أو n=3)
$4s^2 4p^6 4d^{10} 4f^{14}$	في الغلاف N (أو n=4)
$5s^2 5p^6 5d^{10} 5f^{14} 5g^{18}$	في الغلاف O (أو n=5)

جدول 1-1 : توزيع الألكترونات بين مستويات الكم

n	النوع	l	m_l	المجموع	عدد الألكترونات الموزعة
1					
2	0(s)	0		2	2
	1(p)	0, +1, -1		6	
3	0(s)	0		2	18
	1(p)	+1, 0, -1		6	
	2(d)	+2, +1, 0, -1, -2		10	
4	0(s)	0		2	32
	1(p)	+1, 0, -1		6	
	2(d)	+2, +1, 0, -1, -2		10	
	3(f)	+3, +2, +1, 0, -1, -2, -3		14	
5	0(s)	0		2	50
	1(p)	+1, 0, -1		6	
	2(d)	+2, +1, 0, -1, -2		10	
	3(f)	+3, +2, +1, 0, -1, -2, -3		14	
	4(g)	+4, +3, +2, +1, 0, -1, -2, -3, -4		18	